- 2. Ethionine-mediated reduction of S-adenosylmethionine is responsible for the neural tube defects in the developing mouse embryo-mediated m6A modification and is involved in neural tube defects via modulating Wnt/ β catenin signaling pathway / L. Zhang [et al.] // Epigenetics Chromatin. 2021. Vol. 14, No1. Art. 52. doi:10.1186/s13072-021-00426-3.
- 3. Ethionine Suppresses Mitochondria Autophagy and Induces Apoptosis via Activation of Reactive Oxygen Species in Neural Tube Defects / L. Zhang [et al.] // Front. neurol. 2020. Vol. 11. Art. 242. doi:10.3389/fneur.2020.00242.
- 4. Ethionine toxicity in vitro: the correlation of data from rat hepatocyte suspensions and monolayers with in vivo observations / C. J. Waterfield [et al.] // Arch. Toxicol. 1998. Vol. 72, N 9. P. 588-596. doi: 10.1007/ s002040050547.

ВЫСОКОПРОИЗВОДИТЕЛЬНЫЙ ВИРТУАЛЬНЫЙ СКРИНИНГ АФФМННЫХ ВЗАИМОДЕЙСТВИЙ ИЗВОДНОГО ОЛЕИЛАМИНА С БЕЛКАМИ МУХ LUCILIA SERICATA/CUPRINA

Яковец П.С., Фалетров Я.В.

УО «Белорусский государственный университет», Минск, Республика Беларусь

Актуальность. Поиск новых лекарственных соединений остается актуальной задачей. Одним из подходов на начальных стадиях является дизайн соединений с использованием молекулярного докинга. Нами получен (*Z*)-7-нитро-N-(октадек-9-ен-1-ил)бензо[с][1, 2, 5]оксадиазол-4-амин (NBD-олеиламин), содержащий флуорофорную NBD-группу и липидный фрагмент олеиламина. Мухи *Lucilia sericata* и *Lucilia cuprina*, как и *Drosophila melanogaster*, могут использоваться для начального изучения биопроцессов, аналогичных человеческим [1, 2, 3].

Цель. Провести первичную *in silico* оценку взаимодействия NBDолеиламина со всеми доступными структурами белков мух *L. Sericata* и *L. Cuprina* для поиска молекулярной мишени данного соединения.

Материалы и методы исследования. Для молекулярного докинга использовали AutoDock Vina 1.1.2 и BIOVIA Discovery Studio v16.1.0.15350. Для автоматизации организации, запуска расчетов и анализа полученных результатов использовали оригинальную программу-помощник FYTdock [4]. В качестве лиганда выбрана структура NBD-олеиламина. Для создания библиотеки структур белков из базы UniProt и Alphafold были выбраны все доступные структуры белков мух L. Sericata и L. Cuprina (15000 структур). В обсуждение принимали результаты для полученных модельных комплексов белок-соединение с величинами энергии связывания (Еся) не более -9,0 Процедура поиска областей сходства между последовательностями для мух и человека выполнялась с помощью интернетpecypca NCBI BLAST (https://blast.ncbi.nlm.nih.gov/Blast.cgi).

Результаты обсуждение. По результатам И компьютерного моделирования были выявлены наиболее афинные интеракции со структурами белков, содержащими N-концевой домен глюкозо-метанол-(коды холиноксидоредуктазы ИЗ L. Cuprina UniProt A0A0L0C407, A0A0L0C404, A0A0L0C6C6, A0A0L0C6C2, расположены в порядке убывания по E_{cr}) с энергиями связывания от -9,9 до -9,4 ккал/моль (рисунок 1).

По результатам исследования белковых последовательностей человека с данной белковой последовательностью с помощью BLAST было выявлено его (код UniProt – A0A0L0C407) сходство с человеческой холиндегидрогеназой (NCBI ID последовательности – NP_060867.2) с E-value равным 4e⁻⁸³ и процентом идентичности 34,15%. Отметим, что холиндегидрогеназа человека представляет интерес из-за своей связи с различными патологиями, включая мужское бесплодие [5], гомоцистеинурию [6] и рак [7, 8]. Также внимание уделяется бактериальной холиндегидрогеназе, так как этот фермент играет важную роль в способности бактерий расти в гиперосмотических средах, например, очагах заражения человека [9]. Следовательно, такие ферменты представляют собой потенциальные мишени новых лекарственных веществ.

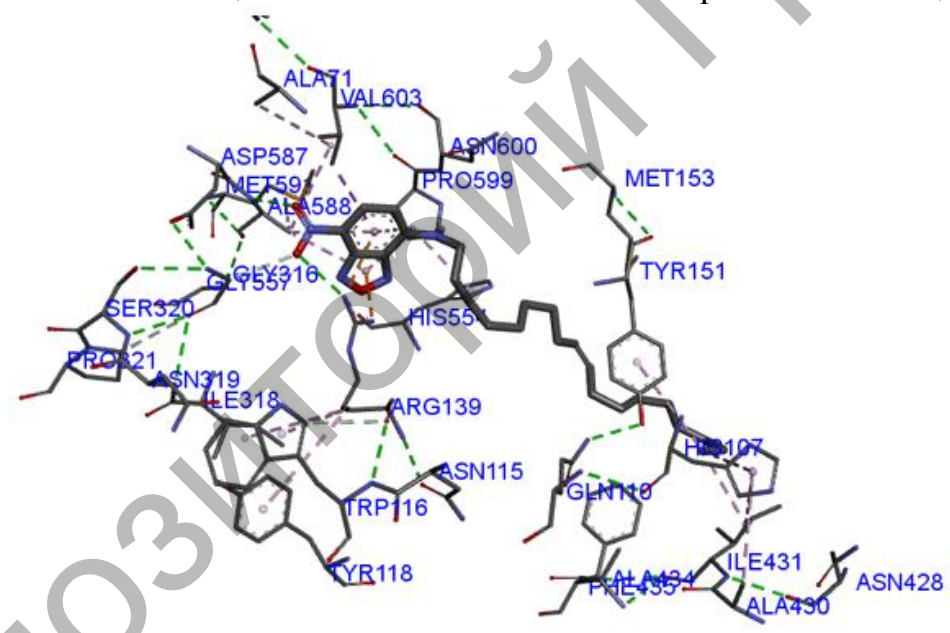


Рисунок I — Рассчитанное положение NBD-олеиламина вблизи активного центра белка, содержащего N-концевой домен глюкозо-метанол-холиноксидоредуктазы из L. Cuprina (код UniProt — A0A0L0C407)

Также один из лучших результатов получен для взаимодействия NBD-олеиламина со структурой белок-цистеин N-пальмитоилтрансферазы Rasp (коды UniProt – A0A0L0BTC0) из *L. Cuprina*; $E_{cB} = -9.8$ ккал/моль.

По данным BLAST, последовательность Rasp (код UniProt – A0A0L0BTC0) была схожа с белок-цистеин N-пальмитоилтрансферазой Hhat (Hedgehog ацилтрансферазой) из *Homo sapiens* (NCBI ID последовательности – XP_047280779.1) с E-value равным 3e⁻³² и процентом идентичности 28.37%. Сигнальный путь Hedgehog участвует в формировании и прогрессировании

различных типов рака [10-12] и Hhat рассматривается как новая мишень для ингибирования этого пути.

Выводы. По результатам исследования взаимодействия NBD-олеиламина с 15000 структур белков мух L. Sericata и L. Cuprina были выявлены аффинные взаимодействия со структурами белков двух типов: содержащих N-концевой глюкозо-метанол-холиноксидоредуктазы белок-цистеин И пальмитоилтрансферазы Rasp, которые схожи по последовательностям с человеческими холиндегидрогеназой Hhat, И связанные с различными патологиями. Полученные in silico данные показывают перспективность изучения NBD-олеиламина как потенциального регулятора работы данных ферментов и его потенциального использования разработке новых В противораковых и средств мужской контрацепции.

ЛИТЕРАТУРА

- 1. Tolwinski, N. S. Introduction: Drosophila-A Model System for Developmental Biology / N. S. Tolwinski // J Dev Biol. -2017. Vol. 5, N₂ 3. P. 9.
- 2. Sze, S.-H. A de novo transcriptome assembly of *Lucilia sericata* (Diptera: *Calliphoridae*) with predicted alternative splices, single nucleotide polymorphisms and transcript expression estimates / S.-H. Sze [et al.] // Insect Molecular Biology 2012. Vol. 21, No. 2. P. 205–221.
- 3. Collatz, K.-G. 21 Insect Models for the Study of Aging. In *Handbook of Models for Human Aging* / K.-G. Collatz. Burlington: Academic Press, 2006. P. 241-252.
- 4. Faletrov, Y. V. Application of docking-based inverse high throughput virtual screening to found phytochemical covalent inhibitors of SARS-CoV-2 main protease, NSP12 and NSP16 / Y. V. Faletrov [et al.] // Research Square. 2022. DOI:10.21203/rs.3.rs-1456627/v1. (preprint).
- 5. Johnson, A. R. Deletion of murine choline dehydrogenase results in diminished sperm motility / A. R. Johnson [et al.] // The FASEB Journal. -2010. Vol. 24, $Noldsymbol{0}$ 8. P. 2752–2761.
- 6. Kumar, J. Single nucleotide polymorphisms in homocysteine metabolism pathway genes: association of CHDH A119C and MTHFR C677T with hyperhomocysteinemia / J. Kumar [et al.] // Circ Cardiovasc Genet. -2009. Vol. 2, N_{\odot} 6. P. 599-606.
- 7. Wang, Z. The prognostic biomarkers HOXB13, IL17BR, and CHDH are regulated by estrogen in breast cancer / Z. Wang [et al.] // Clin Cancer Res. -2007. Vol. 13, \mathbb{N} 21. P. 6327-6334.
- 8. Xu, X. (2008), Choline metabolism and risk of breast cancer in a population-based study / X. Xu [et al.] // The FASEB Journal. Vol. 22. P. 2045-2052.
- 9. Fan, F. Cloning, sequence analysis, and purification of choline oxidase from *Arthrobacter globiformis*: a bacterial enzyme involved in osmotic stress tolerance / F. Fan, M. Ghanem, G. Gadda // Archives of Biochemistry and Biophysics. -2004. -Vol. 421, Nole 1. -P. 149-158.

- 10. Srinath, S. Sonic hedgehog in oral squamous cell carcinoma: An immunohistochemical study / S. Srinath, A. R. Mysorekar, V. Mysorekar // J Oral Maxillofac Pathol. 2016. Vol. 20, № 3. P. 377-383.
- 11. Petrova, E. Hedgehog acyltransferase as a target in pancreatic ductal adenocarcinoma / E. Petrova, A. Matevossian, M. Resh // Oncogene. -2015. Vol. 34. P. 263-268.
- 12. Matevossian, A. Hedgehog Acyltransferase as a target in estrogen receptor positive, HER2 amplified, and tamoxifen resistant breast cancer cells / A. Matevossian, M. D. Resh // Mol Cancer. 2015. Vol. 14. P. 72.